



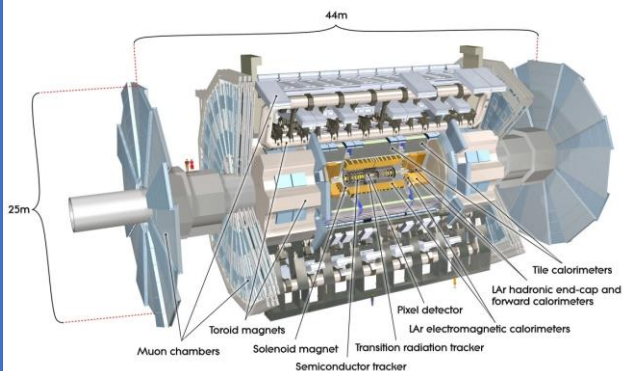
## 1. LHC-ATLAS実験

- 標準模型の検証、新物理探索を目的とした素粒子実験
- **LHC**
  - 陽子陽子衝突型円形加速器
  - 地下約100mに敷設された全長約27kmの加速器

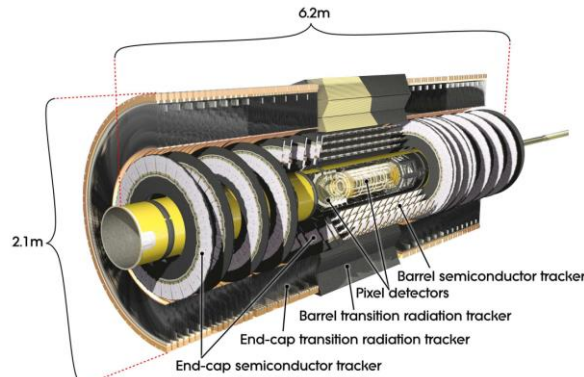
## □ ATLAS検出器

- LHC-ATLAS実験で用いられる汎用検出器
- 陽子同士の衝突によって生成される粒子を測定
- 最内層に内部飛跡検出器が配置
  - ↳ Pixel、SCT、TRT検出器で構成

ATLAS検出器概観図



内部飛跡検出器概観図



## 2. HL (High Luminosity)-LHC実験

- LHC-ATLAS実験は、2020年代後半にHL-LHC実験へのアップグレードを計画
- 実験で得られるデータ量の増加が期待される
- HL-LHCでは、陽子同士の衝突数が増加



現行の内部飛跡検出器をITkと交換する

HL-LHC実験計画



### 3. ITk(Inner Tracker)の量産

#### □ITk(Inner Tracker)

- HL-LHC実験で内部飛跡検出器に置き換えられる検出器
- シリコンをセンサーとした半導体検出器
- 現在、自分はITkピクセル検出器のQuadモジュール量産に参加

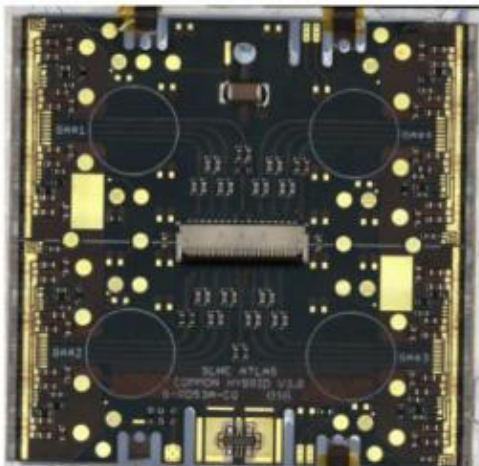
#### □ITkの量産

- アップグレードに向けて、約10,000個のモジュールが量産予定
- 日本では、約2,000個のQuadモジュールの量産を計画
- 現在、130台を量産するPreProductionを実行中

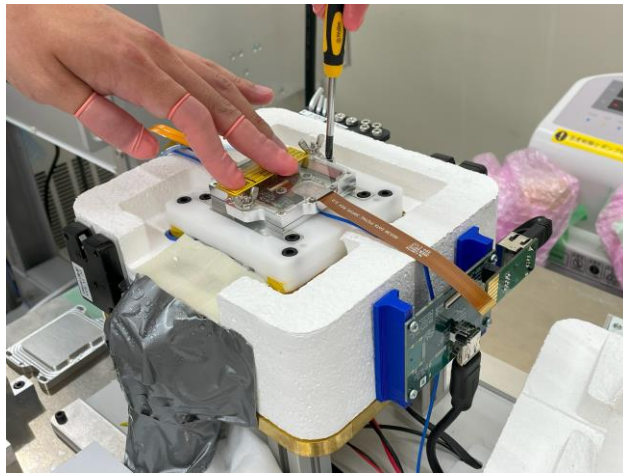


モジュールの組み立てと品質管理試験(QC)を行う

Quadモジュール



電気回路読み出し試験の様子

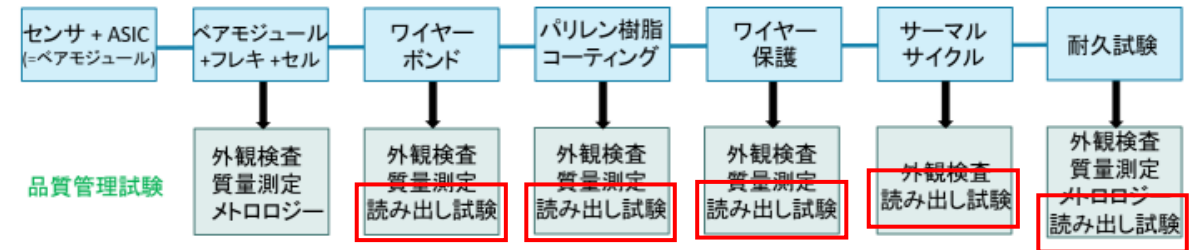


### 4. 電気回路読み出し試験解析

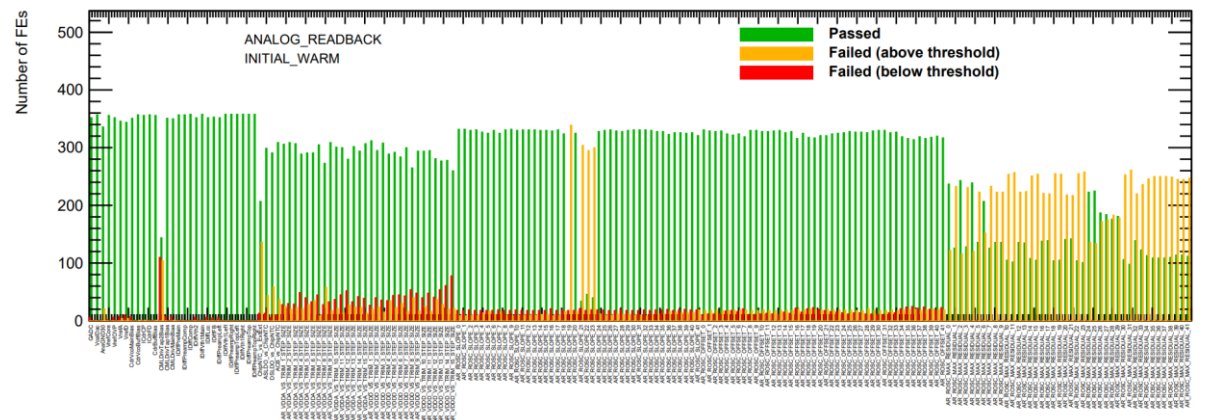
#### □電気回路読み出し試験

- 品質管理試験の一つ
- モジュールの電気回路の状態を確認する試験
- ADC-CALIBRATIONやANALOG-READBACK等のスキャンを実行
- 200種ほどのパラメータを解析
- 基準値から外れたチップ(Failedチップ)の数を各スキャンごとに調べている

品質管理試験の流れ

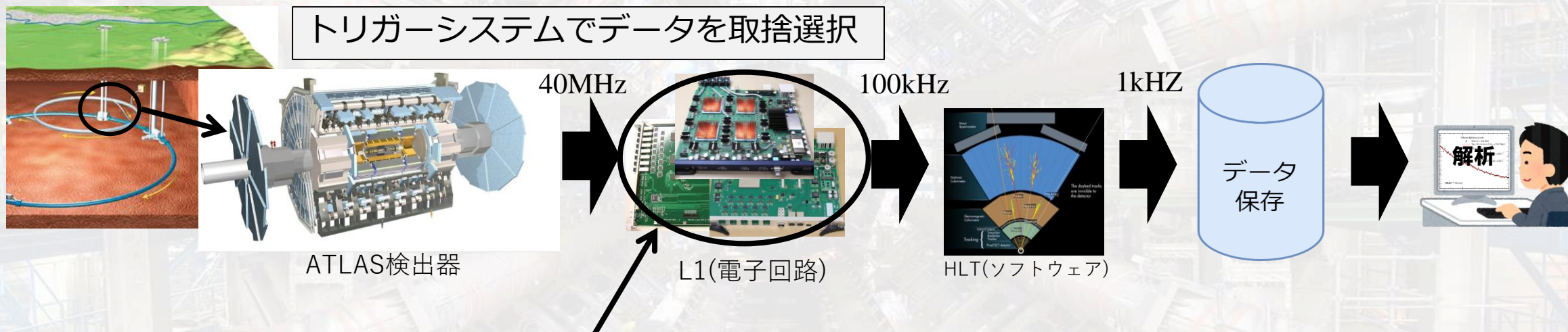


ANALOG\_READBACKスキャンにおける各パラメータのFailedチップ数



# FPGAアクセラレータを用いた新しいファームウェア 論理回路検証手法の開発

神戸大学 水引 龍吾



- **不要なデータを破棄**して、 $2.5\mu\text{s}$ 以内にデータを $1/400$ にする。
- 高速処理するためにFPGAでファームウェアを実装
- 失われたデータは戻ってこない**ので正確で速いファームウェアが必要**

- トリガーシステムの信頼性が実験成功の鍵
- ファームウェアは年々複雑化・大型化



**効率的なファームウェア検証システムが必要**

# 安価なFPGAアクセラレータカードを用いて検証システムを構築

## ○ 現行システムの問題点

- ・ ボードが高価で数が限られる
- ・ マルチプラットフォーム

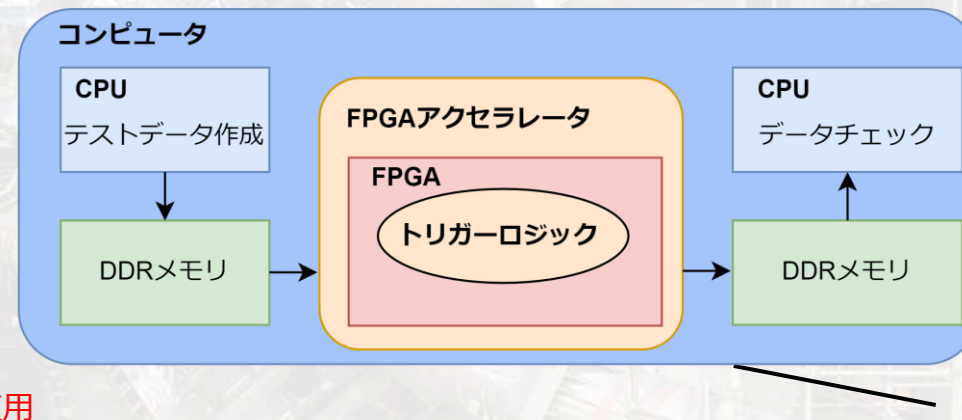
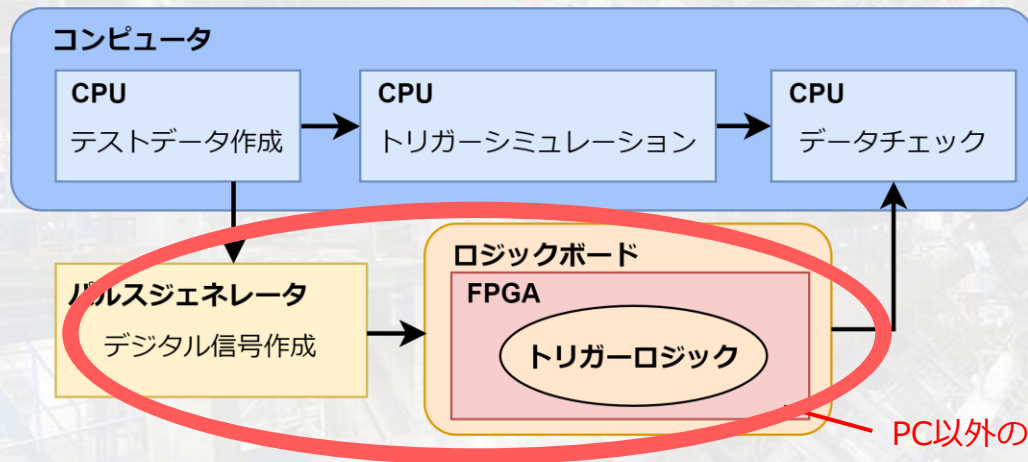


## ○ 新システム

- ・ 安価で入手しやすい
- ・ PCで完結する



FPGAアクセラレータ



- ・ AXIインターフェースを使用してCPU↔FPGAの通信を行う
- ・ システムを工夫することでAXIインターフェースの制限を回避  
→大規模なファームウェアの検証も可能に

本研究：FPGAアクセラレータを用いて汎用性の高いファームウェア検証手法を開発

### 特にATLASでない人に聞いてほしい!

ミュオントリガーロジックの説明にスペースを割いています

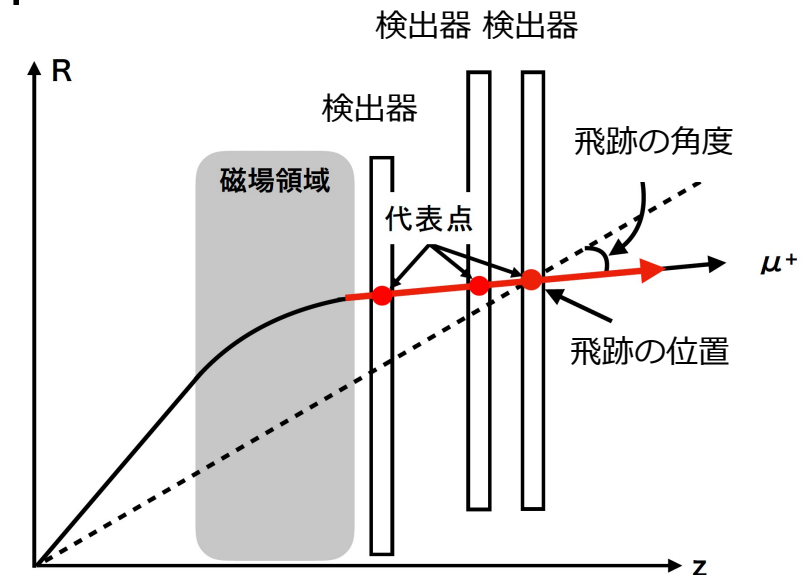
### 高輝度 LHC-ATLAS実験

	LHC	高輝度LHC
瞬間ルミノシティ [cm <sup>-2</sup> s <sup>-1</sup> ]	2×10 <sup>34</sup>	5-7.5×10 <sup>34</sup>
処理時間[μs]	2.5	10
Pile up[個]	50	140-200
トリガーレート [kHz]	100	1000

拡大する処理時間でレートを下げる  
トリガーロジックの導入

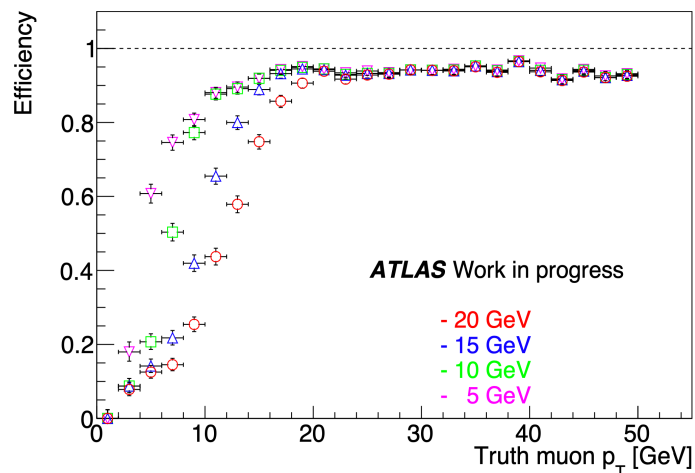
### トリガーロジック

- 横運動量の閾値を超えたミュオンの取得が目的
- 検出器のヒット点の組み合わせから Look Up Table を用いて運動量を算出

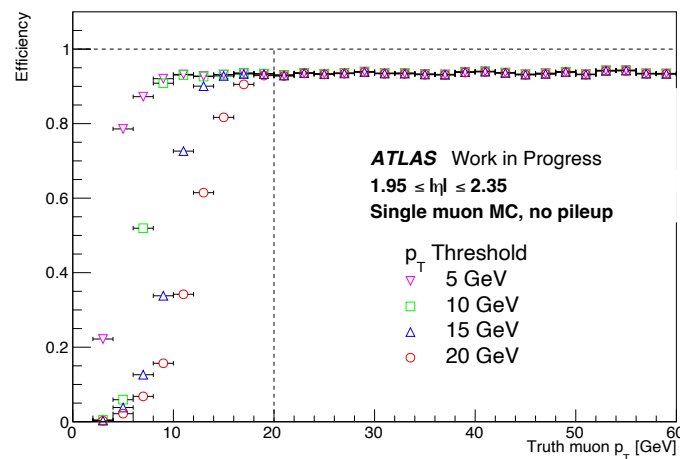


### シミュレーションによる検証

- 実機とソフトウェアの比較検証が行われている
- 図を比較することで論理回路を修正するための手がかりを得る



実機による  
横運動量に対する検出効率

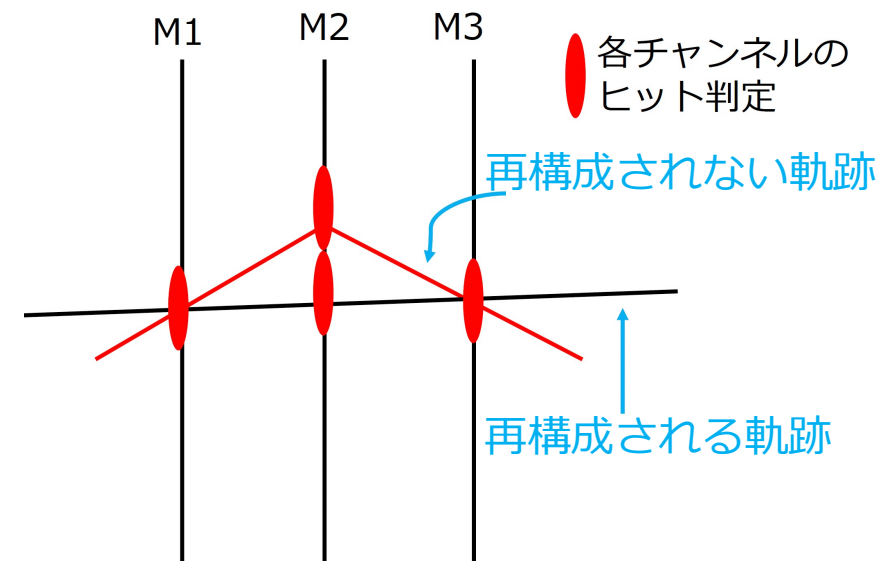


ソフトウェアシミュレータによる  
横運動量に対する検出効率

### 検出効率の向上可能性

- トリガーロジックの非効率についての詳細な理解を進めている

例：散乱による非効率の改善可能性の検証

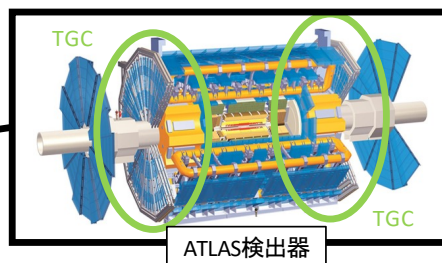
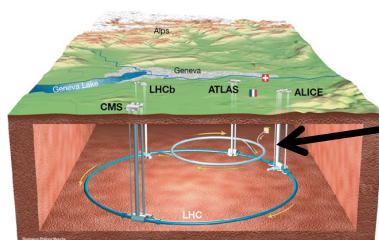


# 高輝度LHC-ATLAS実験に向けた初段ミュオントリガー回路に 実装されるタイミングアライメントモジュールの量産のための品質試験

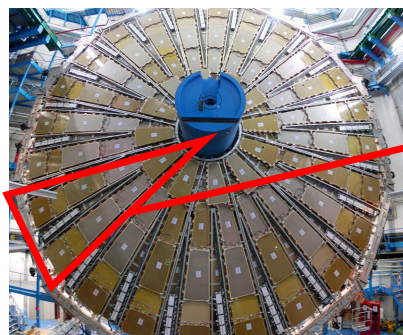
牧田藍瑠 (ICEPP, 東京大)  
ICEPP シンポジウム 18-21 Feb. 2024

## LHC-ATLAS実験

- $\sqrt{s}=13.6$  TeV, 40 MHzの陽子-陽子衝突でBSM探索やHiggs精密測定等の目的
- 初段ミュオントリガーのエンドキャップ部をTGCが担当



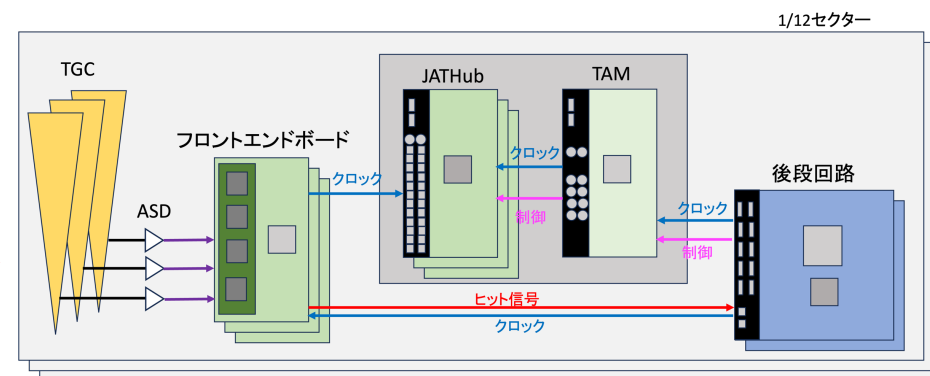
TGC (Thin Gap Chamber)  
ヒットコインシデンスにより  
エレクトロニクス上で  
ミュオン運動量を概算



## 高輝度LHC

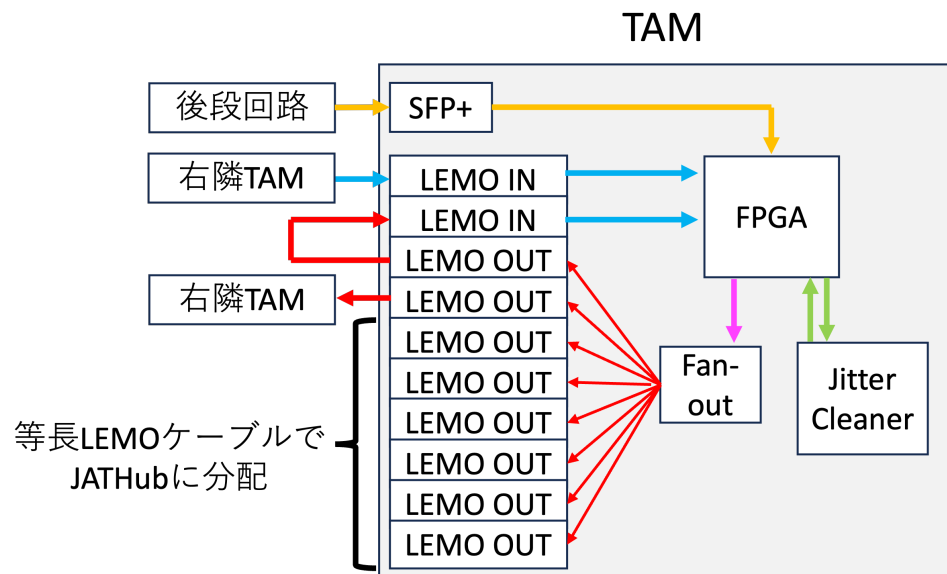
- 2029年から運転開始
- 陽子衝突レートの増加に対するTrigger DAQの仕様変更  
→ TGCエレクトロニクスの刷新

## 高輝度LHCにおけるTGCエレクトロニクス



### TAMの機能・役割

- VMEマスターとして他のモジュールのコントロール
- 低スキューで同位相クロックの分配

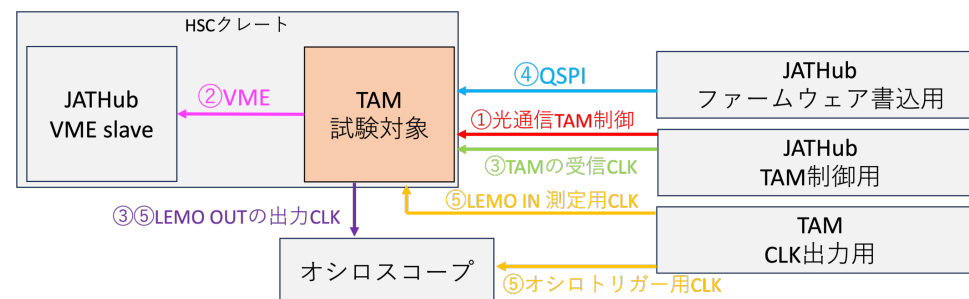


### 試験の目的

2024年度からの量産機30台のために

- 最終試作回路の機能検証
- 試験手順の効率化

### 試験の概要



### 試験手順

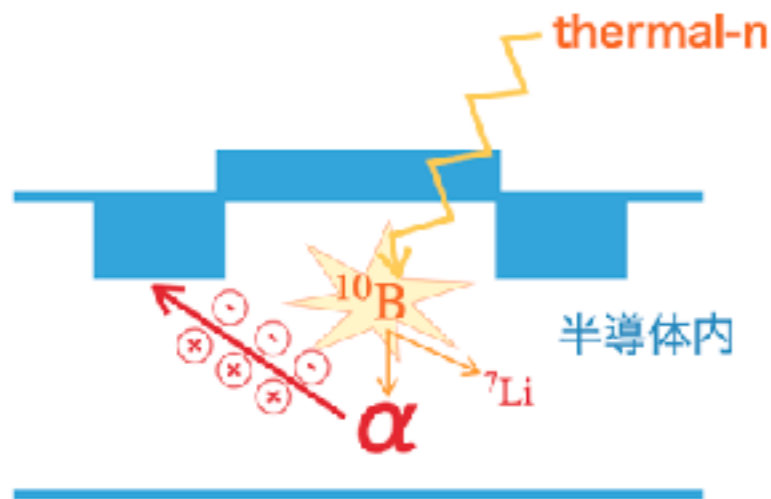
- 最終試作回路の全ての機能が正常動作
- 開発した試験手順も正常動作



# 熱中性子によるFPGAのSingle Event Upset

大阪大学 山田千尋

## Single Event Upset (SEU)とは？



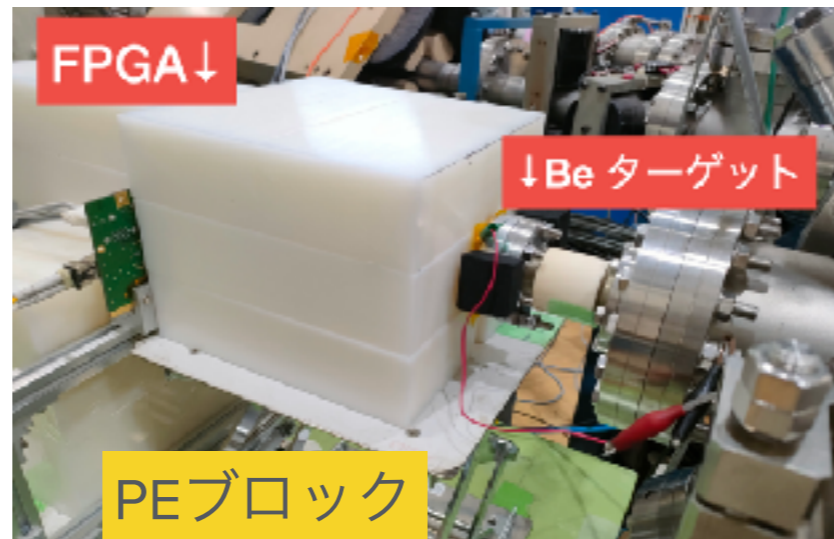
放射線がFPGAなどの半導体素子に入射して、荷電粒子が生成されるとビットが反転する (=SEU)

大強度の粒子ビームを用いる高エネルギー実験では二次粒子も多く生成されるので、放射線対策は重要特に代表的なのは、高速中性子によるSEU

熱中性子はホウ素10の捕獲反応でα粒子を放出する

→SEUの原因となる！？ →実際に実験で使うFPGAで調査

## 神戸大学TANDEM加速器を用いた中性子試験



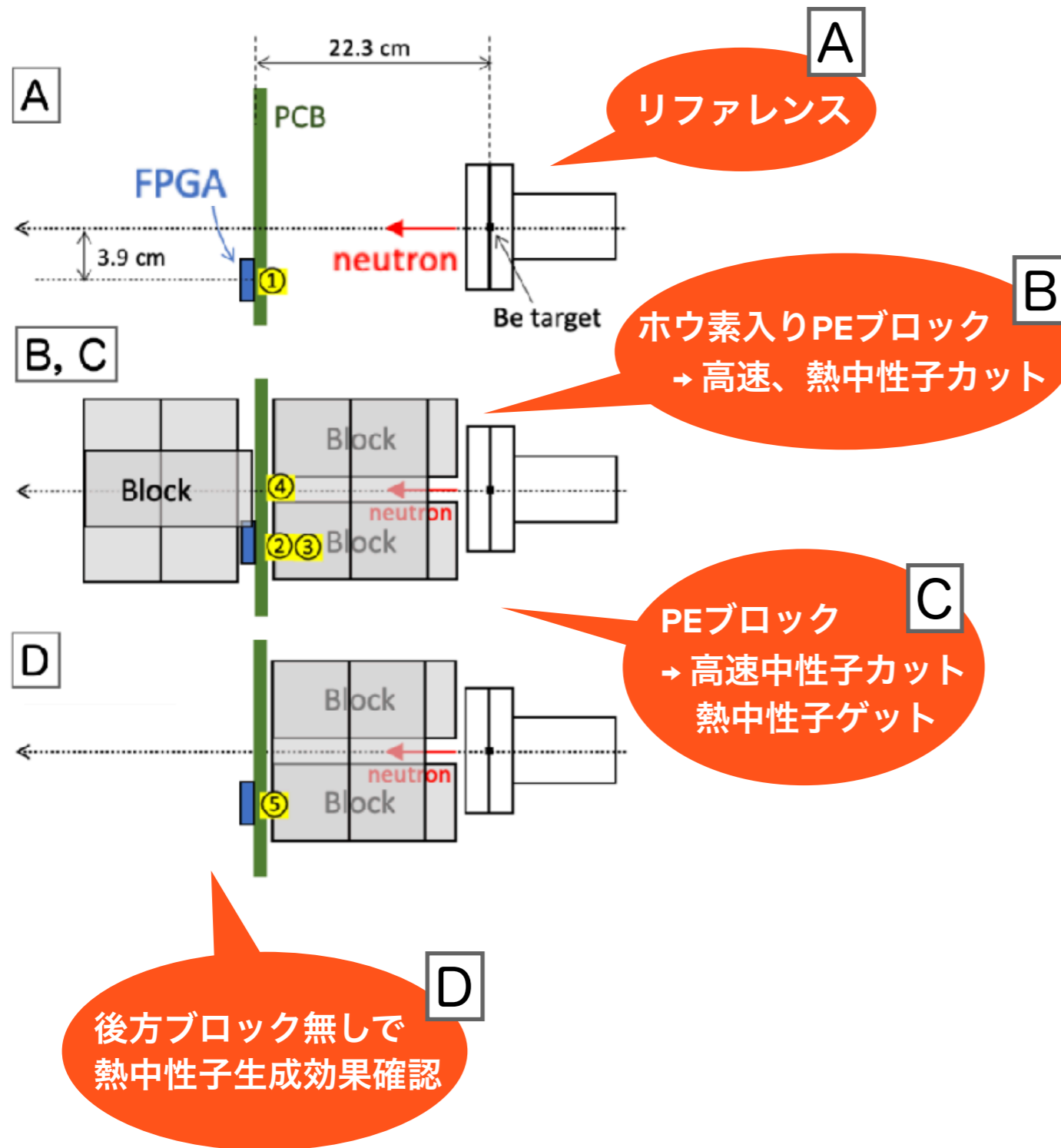
CR39(ルミネスバッチ)を用いて高速中性子と熱中性子の量を測定



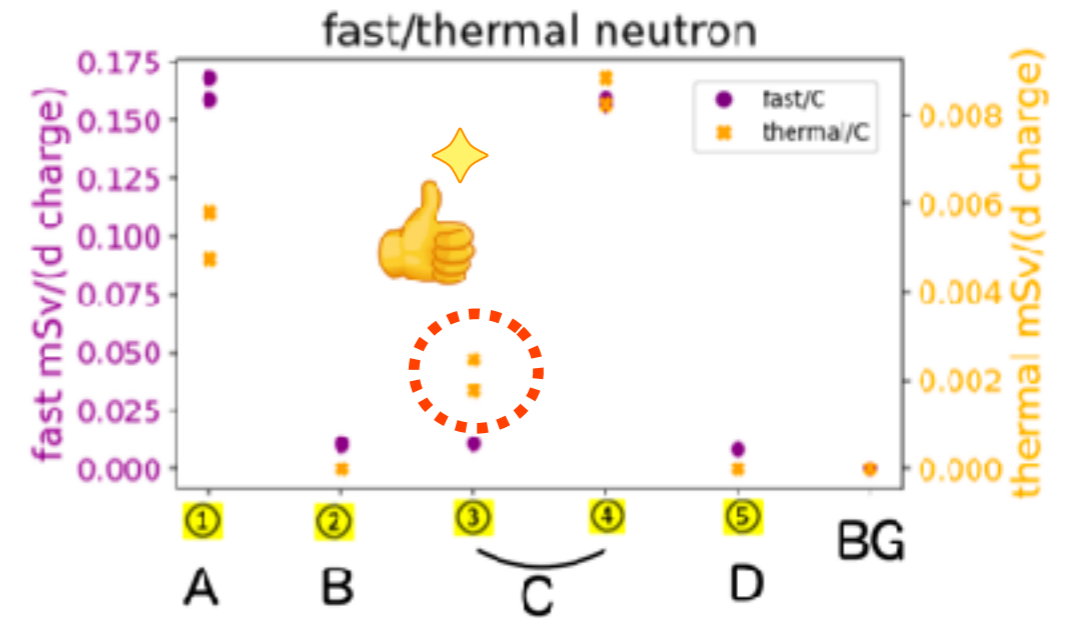
# 熱中性子によるFPGAのSingle Event Upset

大阪大学 山田千尋

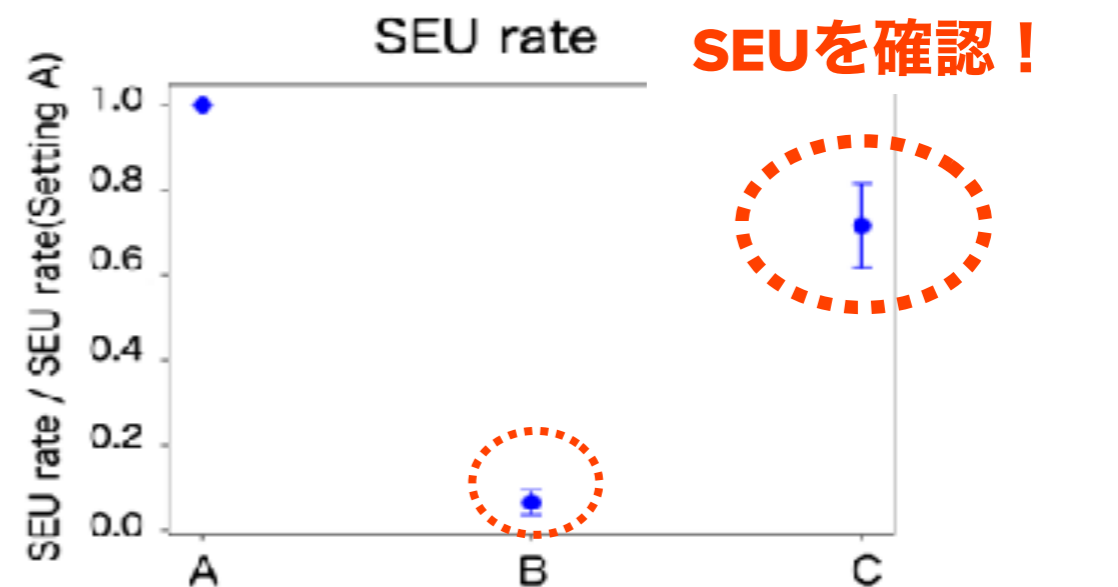
## セットアップ (○ はCR39の測定位置)



## CR39の結果



## SEUの結果



# 高輝度放射光を用いたTh-229アイソマーの脱励起光観測

背景

岡山大学 異分野基礎科学研究所 量子宇宙研究コア M1 大懸遼一郎

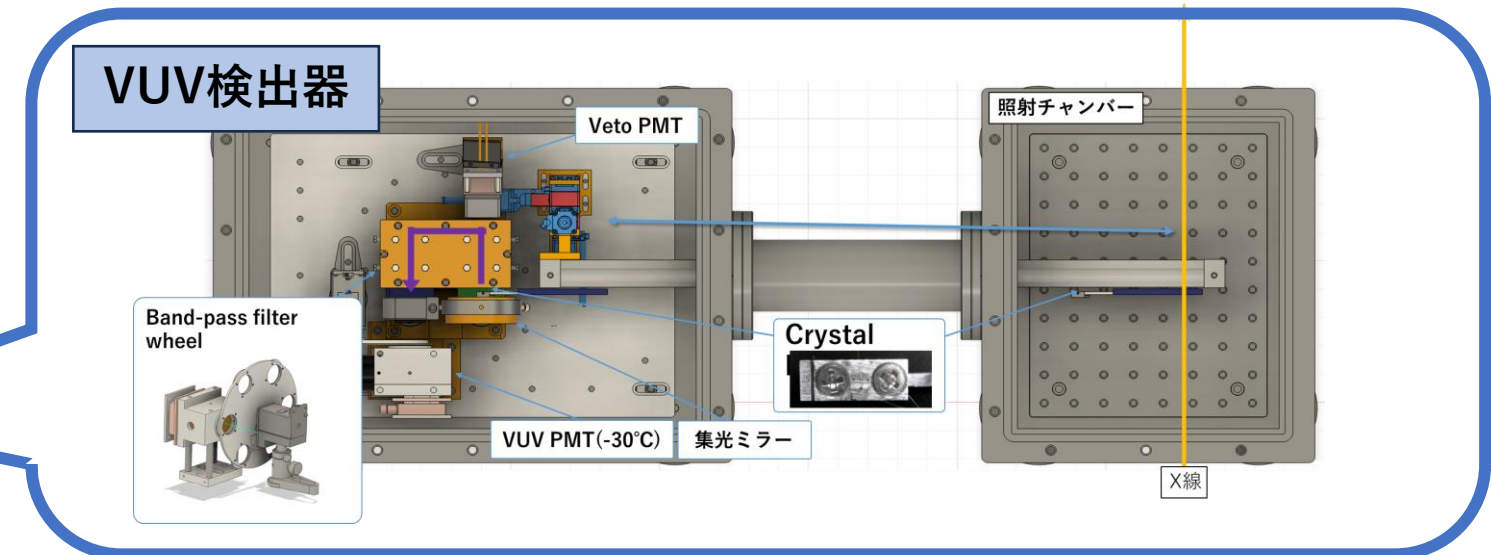
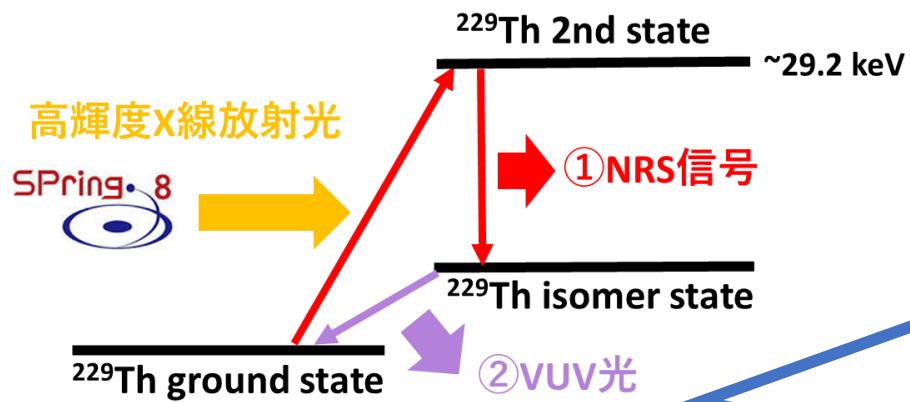
Th-229の第一励起状態（アイソマー状態）を応用した原子核時計は原子時計よりも高い精度が実現可能だとされ、標準モデルを超えた物理学の探索への利用が期待されている。

内容

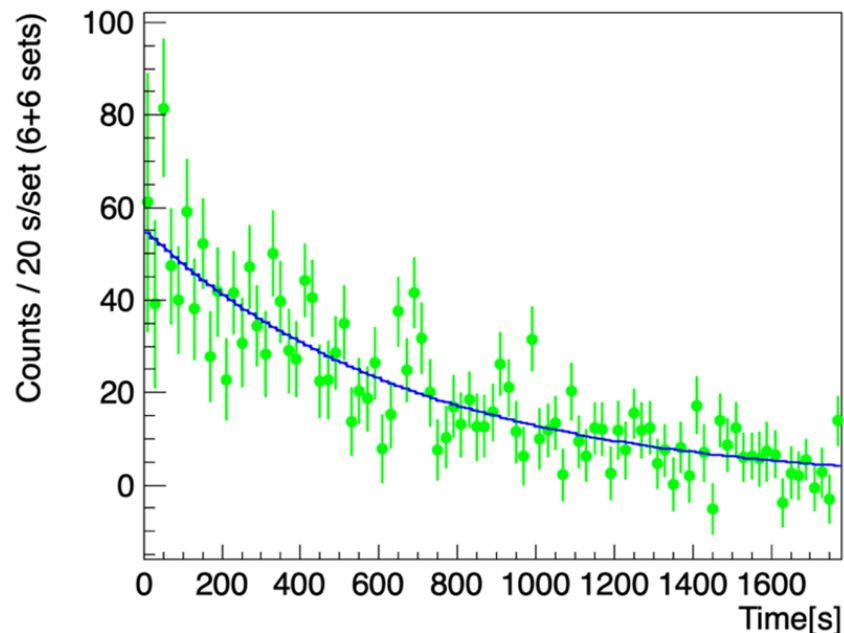
Th-229の第一励起状態（アイソマー状態）のエネルギー準位と寿命の値を得るためにアイソマーの脱励起光を観測した。

手法

- 高輝度X線放射光により第二励起準位を經由してアイソマー準位を生成
- アイソマーからの脱励起光（VUV光）を観測



# 結果：結晶環境中においてVUV光の放出を伴う **アイソマー脱励起の観測に成功**



$^{229}\text{Th}$ アイソマーの寿命:  **$447 \pm 36$  s**

## 他に

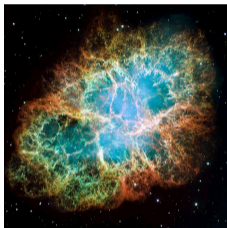
- $^{229}\text{Th}$ アイソマーの波長を決定  
→ 新たなる実験段階へ
- X線照射中のアイソマーの寿命を測定  
→ 別の脱励起メカニズムの存在を示唆

## ポイント

- 結晶と高輝度X線放射光を用いたユニークな実験
- VUV光を観測するための工夫
- 観測したVUV光の波長を決定する手法

# ニュートリノ原子核反応予測の精度向上に向けた 酸素ビーム実験の検出器シミュレーション

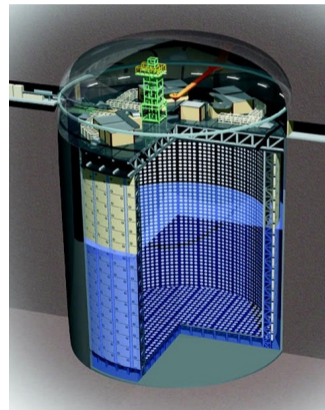
東京大学 横山-中島研究室 M1 水野裕介



超新星背景ニュートリノ (DSNB)……超新星爆発の機構や、星形成の歴史を理解する手がかり。未発見

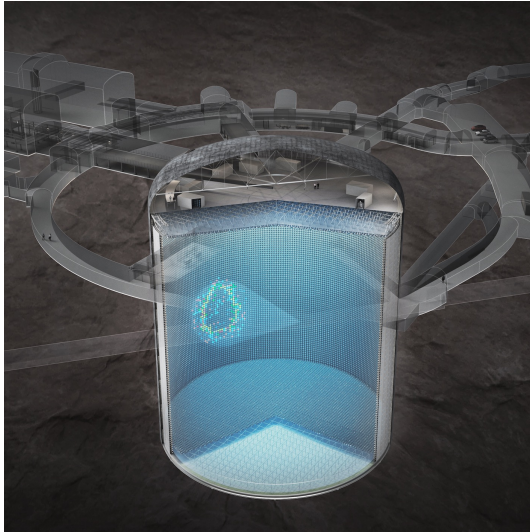
原子核反応を理解したい

→ 理化学研究所 RIBF にて酸素ビームを用いた原子核実験を計画中



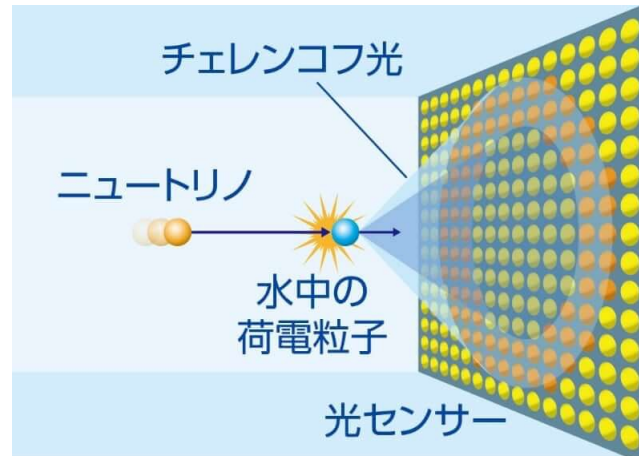
## 研究背景

### ハイパーカミオカンデ



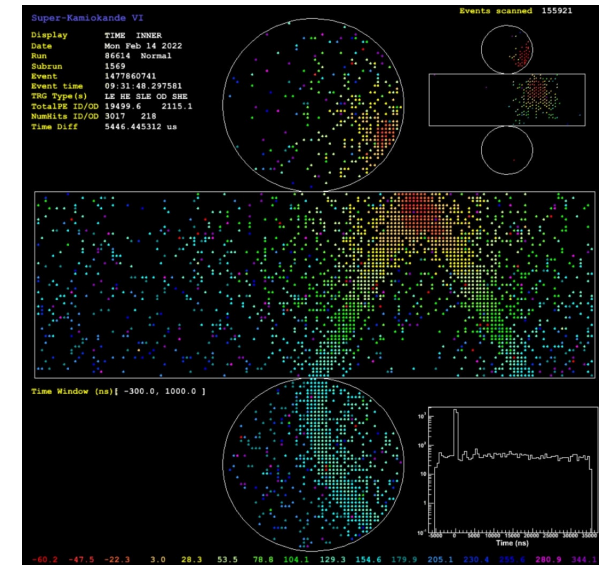
スーパーカミオカンデの  
**8.4**倍の検出有効体積  
陽子崩壊の探索  
ニュートリノ研究

### チェレンコフ光



水中で発生した  
**チェレンコフ光**を  
壁面に全部で2万本ある  
**光電子増倍管**で検出

### 事象再構成



光電子増倍管の  
"検出情報"から**事象再構成**

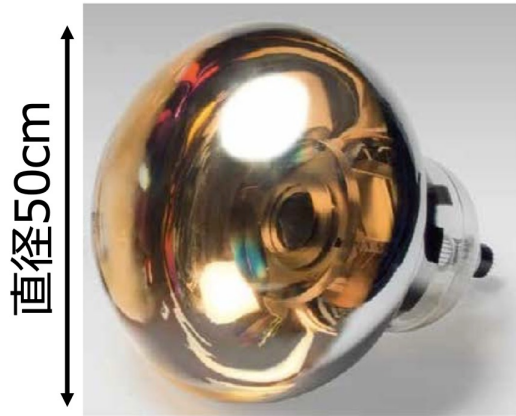
⇒ **高精度な事象再構成には正確な検出時間・光量が必要**

# ハイパーカミオカンデ 50 cm径光電子増倍管 性能の入射位置依存性調査

慶應大学 西村研究室 修士1年 堀内昇悟

## 対象

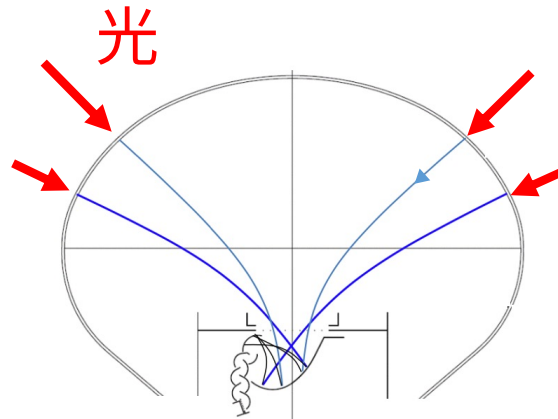
### ハイパーカミオカンデ 50 cm 径光電子増倍管



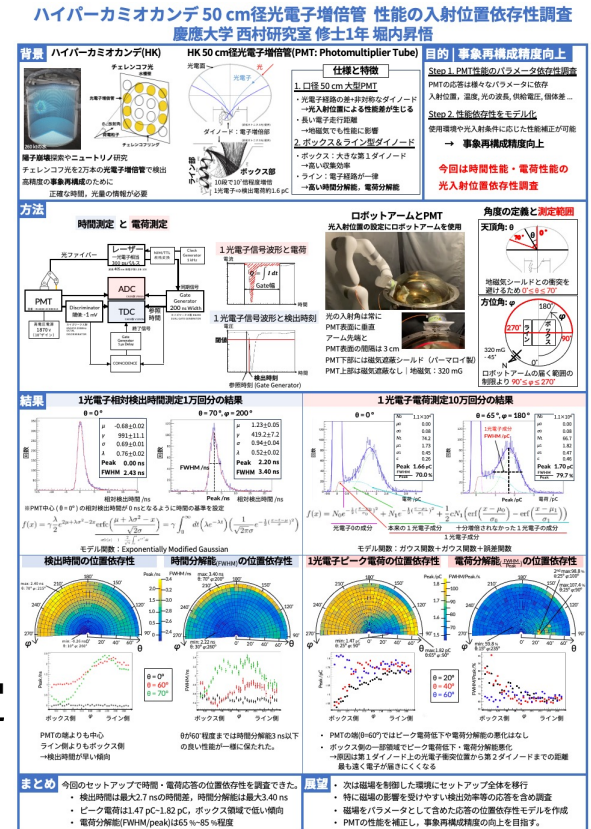
提供：浜松ホトニクス株式会社

## 目的

### 性能の入射位置依存性調査



## 結果



スーパーカミオカンデ比  
約 **2** 倍の性能

- ・ 検出効率
- ・ 時間分解能
- ・ 電荷分解能

光入射位置を変えて性能を測定  
その結果を用いて  
事象再構成の高精度化へ！

**ポスター発表で！**

# Development of High-Granularity, Dual-Readout and picosec-timing Calorimetry

- Performance evaluation by simulation -

Taiki Kamiyama  
The University of Tokyo

## • Concept of a new calorimeter

• **Fine readout elements** for identifying particles and their tracking.

→ Particle Flow Algorithm.

High-Granularity (HG)

Now focus on!

New calorimeter for future colliders

• Improvement of particle identification.  
• Reduction of background.

Dual-Readout (DR)

picosec timing

• More accurate energy measurement by using two information: **Scintillator** and **Cherenkov** signals.

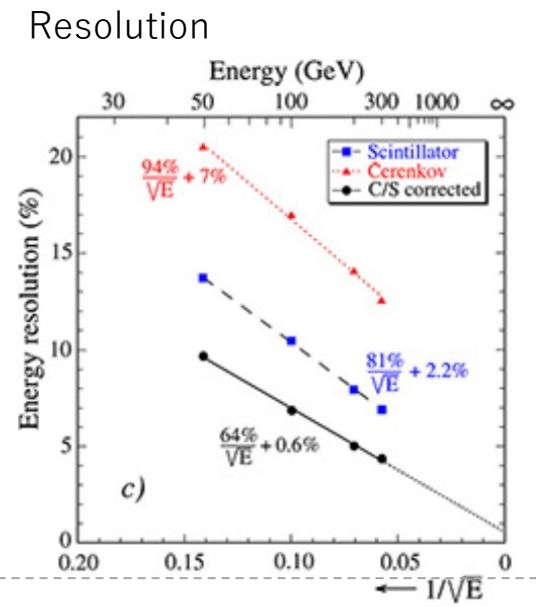
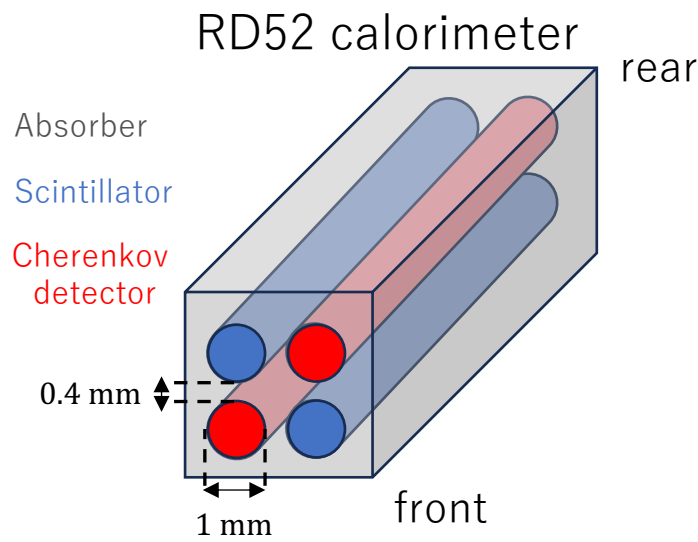


# • DR + HG setup

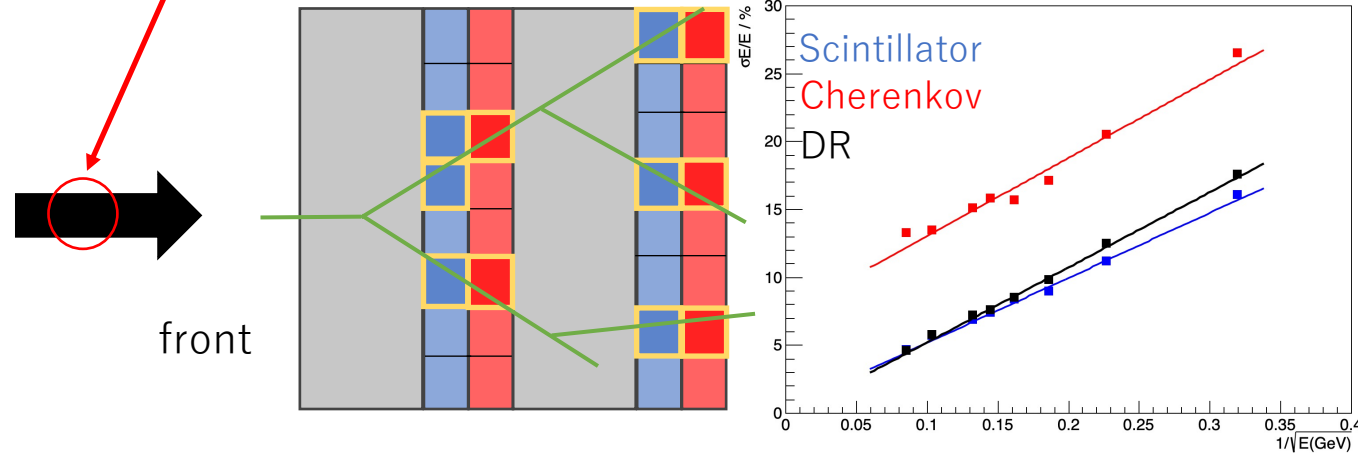
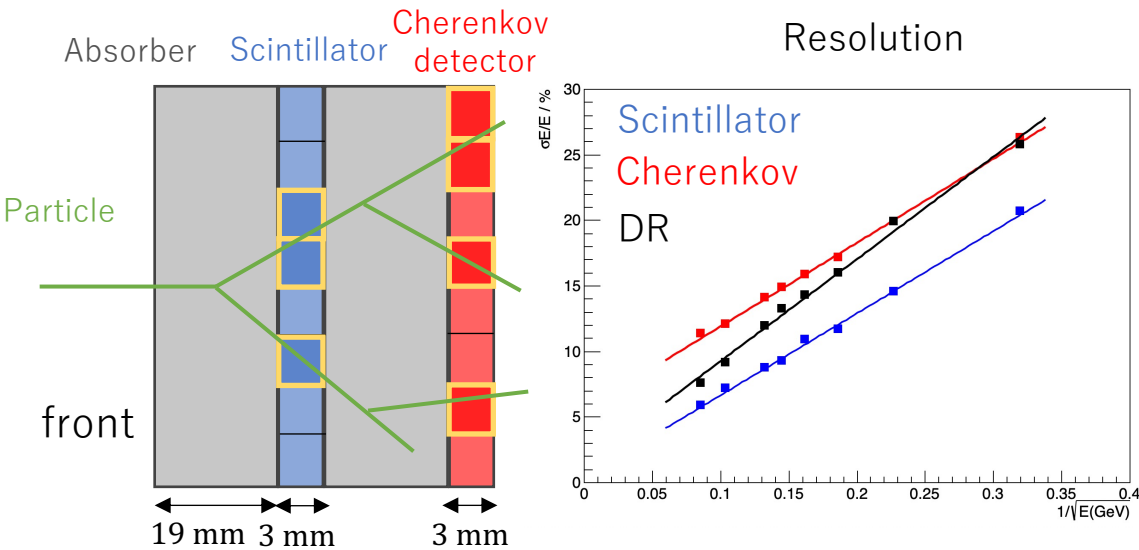
- Previous study of DR (Fiber-based calorimeter)

Limited longitudinal segmentation

- This study (Tile-based segmented HG + DR)



“Homogeneous” reading for strong correlation of each signal as previous studies

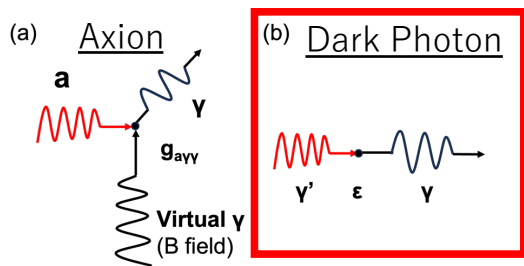


# SQUID型超伝導量子ビットによる周波数変調を用いた ダークマターハロスコープ実験

東京大学 澤田研究室M1 中園寛

## アクシオン、ダークフォトン

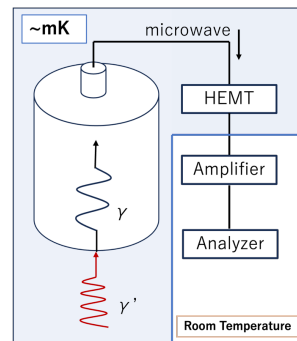
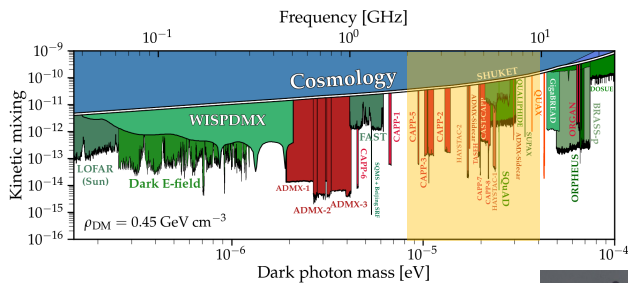
- ・ meVや  $\mu\text{eV}$  範囲でDMの有力候補 (by cosmological observation)
- ・ 電磁相互作用によって光子を放出



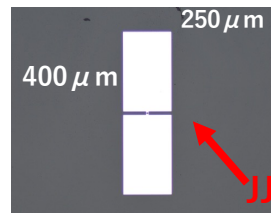
Strong B field needed!

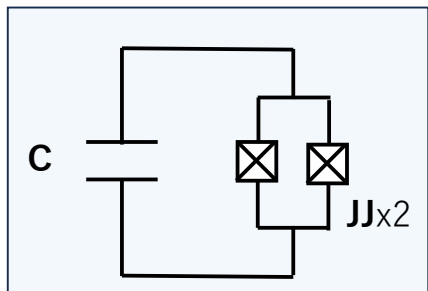
## ダークマターハロスコープ実験

- ・ Cavityで光子を貯めて検出
- ・ DM mass  $\leftrightarrow$  Cavityの共振周波数
- ・ 周波数変調機構  $\rightarrow$  **mass scan**に必須

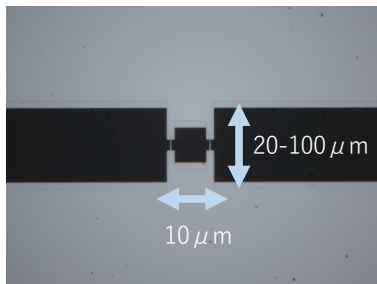


超伝導量子ビットによる  
変調手法を導入





回路模式図



光学顕微鏡(150倍)

### 周波数変調

(Cavity + atom or qubit, TLS)

Jaynes-Cummings model

$$H = \frac{\hbar}{2} \left( \omega_q + \frac{g^2}{\Delta} \right) \sigma_z + \hbar \left[ \omega_c + \frac{g^2}{\Delta} \sigma_z \right] a^\dagger a$$

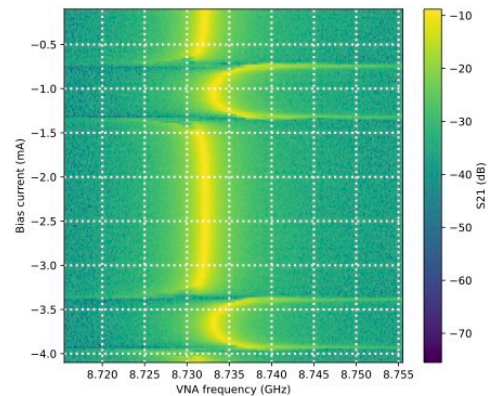
Cavity's frequency shift

$$|\Delta| = |\omega_q - \omega_c|$$

- コイルにより **磁場を印加**
- Qubitの共振周波数を変更
- **detuning  $\Delta$  が変化**
- **Cavityの共振周波数が変調**

## Result

X-axis: Frequency, Y-axis: Current, Z-axis: transmission wave



**Frequency shift observed !**